

YB-Ze

ErZrF_7 , TmZrF_7 , YbZrF_7 , 1973

LuZrF_7 ($T_{\text{d}1}$) VIII 5869

Poulain M., Poulain H., Lucas J.

J. Solid State Chem., 1973, 8, N^o 2,
○ 132-141 (Франс.)

Кристаллические сплавы SmZrF_7 .

Омкости и со сплавами на основе
 ReO_3 .

РДН № 88, 1974

76461

50%

VIII 1306

1965.

$R_2Ti_2O_7$, $R_2Zr_2O_7$, $R_4Zr_3O_{12}$, R_2TiO_2 .
R-пегнозен. эпимесит (смадиесисит, фаял.
перх., суп-рт.)

Collongues R., Quelvroux F., Perez M.,
Gilles J.C.,

Bull. Soc. Chim. France, 1965, n°4, 1141-1145

II, 5, 10, III

CA, 1965, 63, n°5, 5051 d.

$\text{Nd}_2\text{Ti}_2\text{O}_7$; $\text{Nd}_2\text{Sn}_2\text{O}_7$; $\text{Nd}_2\text{Zr}_2\text{O}_7$, $\text{Nd}_2\text{GaSbO}_7$ | 1969
 $\text{Y}_2\text{Ti}_2\text{O}_7$; $\text{YBa}_2\text{Sn}_2\text{O}_7$; $\text{YBa}_2\text{Zr}_2\text{O}_7$; $\text{YBa}_2\text{GaSbO}_7$ (p) | 8

$\text{YBa}_2\text{Cu}_3\text{O}_7$; $\text{YBa}_2\text{Dy}_3\text{O}_7$; $\text{YBa}_2\text{Er}_3\text{O}_7$; $\text{YBa}_2\text{Gd}_3\text{Sb}_2\text{O}_9$

$\text{YBa}_2\text{Li}_2\text{O}_7$; $\text{YBa}_2\text{Sr}_2\text{O}_7$; $\text{YBa}_2\text{Zr}_2\text{O}_7$; $\text{YBa}_2\text{GaSbO}_7$ | VIII 3481

$\text{Ho}_2\text{Ti}_2\text{O}_7$; $\text{Ho}_2\text{Sn}_2\text{O}_7$; $\text{Ho}_2\text{Zr}_2\text{O}_7$; $\text{Ho}_2\text{GaSbO}_7$

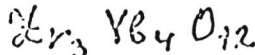
$\text{Er}_2\text{Ti}_2\text{O}_7$; $\text{Er}_2\text{Sn}_2\text{O}_7$; $\text{Er}_2\text{Zr}_2\text{O}_7$; $\text{Er}_2\text{GaSbO}_7$

Plotte H.W. f. Wielinga R.F.; Heijkamp W.Y.

Physica 1969, 43(Y), 549-68.

Effect - capacity measurements on
 rare earth double oxides, $\text{R}_2\text{M}_2\text{O}_7$
 Б(?) 89 CA, 1969, 21, N10, 4302/1

VIII



cr. str.

VII 3814

1970.

Thorber M.R., Bevan D.J.M.

J. Solid State Chem., 1970, 1, n 3-4,
536-544.

Mixed oxides of the type MO_2 (fluorite)- M_2O_3 . IV. Crystal structures of the high- and low-temperature forms
of $\text{Er}_3\text{Yb}_4\text{O}_{12}$ b Me. 
PX, 1970, 225567.

$\text{La}_2\text{O}_3 \cdot 2\text{ZrO}_2$; $\text{Pr}_2\text{O}_3 \cdot 2\text{ZrO}_2$; $\text{Nd}_2\text{O}_3 \cdot 2\text{ZrO}_2$
 $\text{Sm}_2\text{O}_3 \cdot 2\text{ZrO}_2$; $\text{Eu}_2\text{O}_3 \cdot 2\text{ZrO}_2$; $\text{Gd}_2\text{O}_3 \cdot 2\text{ZrO}_2$
 $\text{Tb}_2\text{O}_3 \cdot 2\text{ZrO}_2$; $\text{Dy}_2\text{O}_3 \cdot 2\text{ZrO}_2$; $\text{Ho}_2\text{O}_3 \cdot 2\text{ZrO}_2$
 $\text{Er}_2\text{O}_3 \cdot 2\text{ZrO}_2$; $\text{Tm}_2\text{O}_3 \cdot 2\text{ZrO}_2$; $\underline{\text{Yb}_2\text{O}_3 \cdot 2\text{ZrO}_2}$
 $\text{Lu}_2\text{O}_3 \cdot 2\text{ZrO}_2$; $\text{Y}_2\text{O}_3 \cdot 2\text{ZrO}_2$ (Tm)

Горнисец: К.И., Музыкесва И.И.,
Саидбеков С.З., Родионов И.В.,
Узб. АН СССР Насыржан Матрасалиев,
1972, 8, № 403-408 / VIII-5251

5 (P)

12X72

Ре₂Хф₂O₇, Нд₂Хф₂O₇, Sm₂Т₂O₇) 137
1974

2Hf₂O₇ · Gd₂O₃; 2HfO₂ · Dy₂O₃; 2HfO₂ · Yb₂O₃; 2HfO₂ · Dy₂O₃; 2HfO₂ · Yb₂O₃, HfO₂ (ΔHf)

Напуцкий Ю.Н., Крнициновског В.Я.

Горушкина В.В. XVII 9.7

Узб. АИССР. Неорганик. эксперименты, 1974,

10, № 3, 1551-1552.

Энталопии образования 24 фаз от 0°Ч
до 1000°К с предварительной обработкой
циркония, 1974
235758

59

YbZrF_7

1981

6 Б412. Структура кубической YbZrF_7 . Poulaing
Magsel, Toftield Bruce C. The structure of cubic
 YbZrF_7 . «J. Solid State Chem.», 1981, 39, № 3, 314—328
(англ.)

Проведено рентгенографич. (дифрактометр, МНК, изотропное приближение, $R=0,0290$) и нейтронографич. ($\lambda 1,2056$, МНК, изотропное приближение; уточнение при комн. т-ре, $R=0,0332$, и при т-ре 220° , $R=0,0330$) исследование кристаллов YbZrF_7 (I), полученных взаимодействием YbF_3 и ZrF_4 при т-ре 1000° с последующей быстрой закалкой. Параметр кубич. решетки a при комн. т-ре 4,067 Å, при 220° 4,071 Å. В обычных условиях для I, так же как и для ряда др. сложных фторидов (SmZrF_7 , $\text{Rb}_5\text{Zr}_4\text{F}_{21}$, $\text{K}_2\text{Cu}(\text{ZrF}_6)_2 \cdot 6\text{H}_2\text{O}$ и др.) и для соединения $\text{Zr}_{0,8}\text{Yb}_{0,2}\text{F}_{3,2}\text{O}_{0,3}$ характерна дефектная структура, пр-ная от структурного типа ReO_3 . Октаэдрич. координация катионов, характерная для ReO_3 , в случае I увеличивается до семерной за счет расщепления одной вершины октаэдра на две с разрешением

Кристалл.
Структура

X. 1982, 19, N6

F—F 2,46 Å по рентгеновским и 2,41 Å по нейтронографич. данным. При этом не наблюдается упорядочения атомов F в анионной подрешетке, но имеет место тенденция к упорядоченному распределению катионов по центрам семивершинников (Yb—F 2,142—2,154 Å; Zr—F 2,127—2,14 Å). При 220° структура I остается практически неизменной, однако при дальнейшем нагревании при t -ре 390° наблюдается медленное превращение в монокл. модификацию, характеризующуюся полностью упорядоченным распределением атомов F по двум положениям и катионов.

С. В. Соболева

Cd;
X C

$\text{Yb}_2\text{O}_3 \cdot 2\text{ZrO}_2$ | Омск 12982 | 1982

ЗОЗ Е.И., Юо.шерб Е.Н.,

ТМ,
парашютор
решетка,
хозз.
мерк.
расшир.

в gp.

Журн. неоргик. хим.,
1982, № 1, 95-99.

$\text{Yb}_4\text{Zr}_3\text{O}_{12}$

1994

Reznitskii L. A.

Neorg. Mater. 1994,
30 (8-9), 1197-8.

ΔfH

(Calc. $\bullet \text{Yb}_4\text{Zr}_3\text{O}_{12}; \tilde{\tau}$)